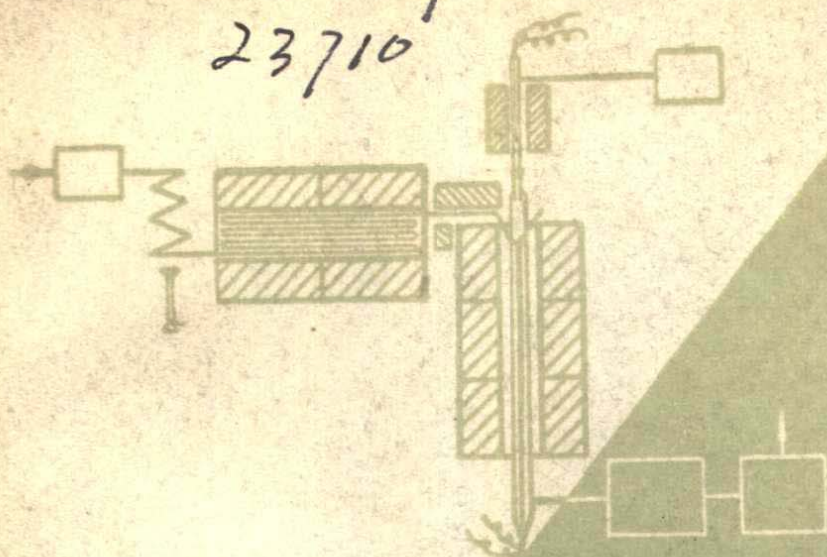


127°
甲-539 9.10 6/59

23710



基本有机原料译文集

第一輯

石油的裂解与分离

中国工业出版社

基本有机原料译文集

第一輯

石油的裂解与分离

中国工业出版社

本輯共十五篇文章，选自英、德、法文等期刊，其中有关裂解七篇，討論利用原油、石脑油、粗柴油以及低級烷烃等不同石油原料的裂解以制取烯烃的方法；分离提純方面五篇，其中有一篇介紹高純度乙烯的提純；一篇专論丙烯生产；另外二篇，其一是介紹建厂經驗，另一是介紹魯奇-魯爾瓦斯砂子裂解炉。

这些文章对目前在基本有机合成工业各部門从事科研、設計或教学等工作的同志，均有参考价值，领导同志也能从中了解到一些国外以石油产品为原料的基本有机合成工业的概况。

基本有机原料译文集

第一輯

石油的裂解与分离

*

化学工业部图书編輯室編輯 (北京安定門外和平北路四号楼)

中国工业出版社出版 (北京佐隣閣路丙10号)

(北京市书刊出版事業許可證出字第110号)

中国工业出版社第四印刷厂印刷

新华书店北京发行所发行·各地新华书店經售

*

开本850×1168 1/32 · 印张 7 7/8 · 插頁 1 · 字数202,000

1963年11月北京第一版 · 1963年11月北京第一次印刷

印数0001—2,209 · 定价(10-7)1.35元

*

统一书号：15165 · 2365(化工-196)

前　　言

基本有机合成工业在我国还很年青，在国外也只有几十年的历史，但是其发展速度甚快，已经成为化学工业中一个生产規模宏大、技术水平較高的部門。这是由于基本有机化工原料与化学工业内部各专业以及国民經濟各部門的发展有密切的关系。近年来，各国刊物上所刊录的这方面的文章，更是与日俱增。为了把这些資料介紹过来，我們編輯了这个譯文集，以供生产、科研、設計及教学工作参考。

本譯文集将介紹国外基本有机合成工业中比較成熟的建設經驗、研究成果、生产技术与科学理論方面的专論以及技术經濟評述等。其范围除石油化工及天然气化工外，还适当介紹利用煤、电石为原料，以至发酵法生产基本有机化工产品等方面的文章，希望能对我国当前基本有机合成工业的发展有促进作用，也能有較長時間的参考价值。今后，我們拟以不定期的譯文集形式陸續分輯出版。

本輯主要介紹了石油化工方面的裂解、分离、提純等資料，其中有几篇虽然发表得早一些，然而当前仍常为有关方面引用，所以仍选入以供参考。

本譯文集的选題是我們委請北京化工研究院提出的。我們还得到其他有关单位和同志們在选題审稿等方面的帮助，从而提高了本譯文集的质量，书此一併致謝。

由于工作才开始，还没有經驗，在选題內容和編譯质量方面一定存在不少缺点，恳切地希望讀者多提意見，帮助我們把这一工作做好，更好地为祖国的基本有机合成工业多做些工作。

化学工业部图书編輯室

1962.12.15

目 录

| | |
|---|----------------------------------|
| 原油的热裂解..... | J. Wengler; H. Zeininger (1) |
| 从石油烴(特别是从原油)裂解制取低級烯烃 | H. Kamptner (27) |
| 石脑油或粗柴油裂化制乙烯..... | C. C. King; J. Warburton (50) |
| 低級烃的热解..... | H. C. Schutt (60) |
| 从乙烷丙烷生产乙烯..... | H. C. Schutt (76) |
| 沸腾层法从原油制取乙烯..... | A. Steinhofer; O. Frey博士 (110) |
| 管式热解炉的设计..... | H. C. Schutt; S. B. Zdonik (127) |
| 烃类的低温分离..... | C. C. King (140) |
| 烯烃的低温回收..... | L. B. Baper (155) |
| 轻质烃的低温加工..... | A. W. Pratt; N. L. Foskett (167) |
| 乙烯提纯——脱甲烷 | |
|J. R. Fair; W. L. Bolles; W. R. Nisbet (183) | |
| 从聚乙烯级纯度的乙烯中除去乙炔 | |
|R. E. Reifmeier; H. W. Fleming (202) | |
| 丙烯的新应用促使其生产增长..... | T. C. Ponder (212) |
| 西德新建的一个石油化工工厂 | Kurt. W. Schneider (222) |
| 鲁其-鲁尔瓦斯砂子裂解炉及其在烯烃生产方面的应用 | P. Schmalfeld (230) |

原油的热裂解

—J. Wengler, H. Zeininger博士●—

在实验室試驗中，对三种不同的原油和两种作比較用的輕汽油样品进行了热裂解。裂解溫度、停留時間和加入的过热水蒸氣量均不相同。此外，还研究了反应管焦炭填料的影响。各种原料在裂解时，所得到的、产率与上述变数的关系基本相同。縮短停留時間（到 0.1 秒左右）和加入水蒸汽到五倍重量，則可使乙烯的最大产率提高；进一步縮短停留時間，乙烯的最大产率还可能提高；但繼續提高水蒸氣量，則好些种原油的乙烯最大产率都沒有提高。丙烯的最大产率則几乎不受停留時間和加入的水蒸氣量的影响。加入水蒸氣可大大降低原油的焦炭形成量，并且几乎可完全抑制由輕汽油中生成焦炭。这些結果曾与某些大工业方法的結果对比；两者大体上是相 符的。用分析法 测定裂解产物中的氢、乙烯和乙烷的結果表明，几乎无一例外，都有少量的乙烯和氢存在，就象 $C_2H_6 \rightleftharpoons C_2H_4 + H_2$ 这一平衡式的情况一样；在对乙烯产率最佳的試驗条件下，平衡偏移移动特別大。

烯烃，尤其是乙烯和丙烯，作为許多溶剂和合成物质的原料，在化学工业中显得越来越重要。这里有一个重要的原因，就是目前可以大規模地用工业方法生产廉价的烯烃。一系列至今仍用乙炔作起始原料的生产方法，可代之以用乙烯作原料的生产方法，而且較为經濟，因此，乙炔即逐渐失去其重要性。

起初，乙烯是由焦炉气或裂化气通过乙烷的热裂化以及在很大的范围内通过乙炔加氢而制得的。美国拥有丰富的石油，当时便首先以类似乙烷热裂化的方法，发展了裂解低沸点范围的烃类制取乙烯的技术。数年来，西德(原文系德国——譯者注)的化学工业也采用了这一技术，并且通过紧张的研究工作将其进一步发

① 本文作者 Josef Wengler 和 Hamelore Zeininger 在美茵河畔法兰克福一赫希斯特，赫希斯特染料公司任职，前曾任卢齐烏斯和布留宁格公司的技师。

展了。开始时多半是丙烷或者輕汽油被用作原料，在此以后，目前更新的方法系直接由原油开始进行生产，此种原油系自然界所提供的、高級烴类含量居多的混合物。

所有这些热裂解方法^[1]的共同点是：待裂解的烴起初要稍加蒸发，然后单独或者在有水蒸汽存在的情况下，于有限的时间内升至較高的溫度；生成的最終产物要迅速加以冷却。此时，烴在吸收热量的情况下，即行分裂成一系列的分解产物。裂解过程可以控制到在尽可能高的限度內生成所希望的低級烯烃。此时，不可避免要同时生成副产物氢、炔类、低級石蜡烃（甲烷、乙烷等）、高級烃以及焦炭。但是，也还有一个經濟的做法，即制取高級烃；此时，裂解的目的不是为了获得最大的烯烃产率，而是要多生成可供利用的高級烃。

所得裂解产物的組成，其种类和数量除与原料的組成有关外，还与进行裂解时的物理条件有很大的关系。这些物理条件就是溫度、反应時間和是否有水蒸汽存在。

这些物理条件在目前采用的大工业方法中是以各种不同的方式实现的。图1概括了一些最重要的方法及有关其所用原料、水蒸汽用量、热量导入的形式、反应溫度、停留時間和最終产物等的資料。

反应溫度視所用方法的不同和欲得最終产物的不同而介于700—2000°C之間。原料多半是間接預热到尚不能分解的溫度，然后送入反应区，在反应区内使之达到要求的裂解溫度。为此所需以及裂解所需的热量是用燃烧气体（或油）与空气（或氧）的方法获得，或者用电的方法获得。热量系通过管壁传給烃，或者借助直接或間接加热了的載热体如焦炭、砂、水蒸汽或陶瓷传給烃，最后，还可用混入燃烧气的方法将热量直接传給烃。

已經表明，最終的裂解溫度对于最終产品的組成來說是非常重要的，而在溫度差不太大的情况下，达到此最終溫度前的溫度过程（是否系指升高溫度的过程——譯者注）則是次要的。在一定的反应空間內，最終的裂解溫度与单位時間內的扩散量对单位

時間內帶入的热量的比值有关，并且可用調节这一比值的方法来加以影响。

单位時間內的扩散量与反应空間之比决定着反应時間。此反应時間应看作是从原料与热的載热体汇合时开始直到反应产物被冷却到約 500°C 时为止的平均停留時間；在此溫度下，裂解产物实际上不再发生变化。如果反应時間很短（例如在 900°C 时 < 0.1 秒），那么主要进行的是主反应，此时碳原子之間的鍵以及碳原子和氢原子之間的鍵即分裂^[34, 53, 61]。若停留時間較长，那么随这些主反应之后还要发生副反应，如岐化作用和合成反应（聚合作用）。尤其是合成反应，反应時間增加对它們是有利的；合成反应能降低烯烴的产率^[35]。

因为合成反应从动力学的觀点来看系較高級数的反应，因此降低各反应物的分压时，与裂解过程相反，合成反应要受到影
响。因此，低級烴，首先是低級烯烴的产率便要提高^[42]。如果加入水蒸汽进行稀释，那么焦炭的生成率也要降低，也就是說，由于水蒸氣量及其溫度不同的原因，导入的总热量中一大部份甚至于全部系由水蒸氣的热函所帶入；因此，可通过外热式反应器热得多的器壁使水蒸氣的过热有所降低或升高。另外，在足够高的溫度下，焦炭量可能因水煤气反应而降低。此外，通过适当形式的导入装置和較高的流速，可达到使水蒸氣将烴与反应器壁隔離，这样便可防止生成的焦炭直接沉积在器壁上^[36]。

最后，裂解产物的組成还与原料的組成有关^[19]。由不帶支鏈的烷所得到的乙烯产率最好；而由环烷烴，特別是芳香物质，则生成較少的气态产物、較多的液态产物、焦炭。

为了确定溫度、停留時間、水蒸氣加入量和原料性质这四种参数对裂解产物的組成影响如何，曾經用不同的原油和輕汽油（供比較用）进行了广泛的、有系統的實驗室試驗。得到的結果曾以各种不同的大型装置进行驗証，驗証結果表明，发展和經營这样的装置是有益的。

試 驗

試驗系以小規模進行。原油通過量約在0.15—0.8公斤/小時之間波動，有的未加水蒸氣，有的加了水蒸氣。無水蒸氣裂解所用的裝置如圖2所示。裂解管一般是空的，僅在有幾次試驗中管內填充了直徑約4—6毫米的焦炭顆粒（Kokspebbles），以便通過試驗掌握焦炭對反應的影響。原油或輕汽油用一台加料泵經由電預熱器（約可預熱至350°C）送入直徑30毫米、長80—100厘米的臥式裂解管。裂解管用石英或18/8—Cr/Ni鋼製成，分三段由外部加熱，以力求在管的全長達到尽可能一致的溫度並使溫度在試驗時間內保持恒定。用Pt—Pt/Rh熱電偶在管內四點測量溫度。位於中心的熱電偶保護管直徑為10毫米，因此，反應空間的截面乃為10毫米寬的圓環。反應混合物經過裂解管之後直接通過冷凝器，在此，液體部分於0°C下被分離。未冷凝的殘余部分則收集於氣量計中並在質譜儀中進行分析。開始試驗前，曾將裝置抽真空以除去全部空氣。試驗期間的壓力約比大氣壓高5—10托爾（Torr）①。試驗時間合計在15—45分鐘之間。

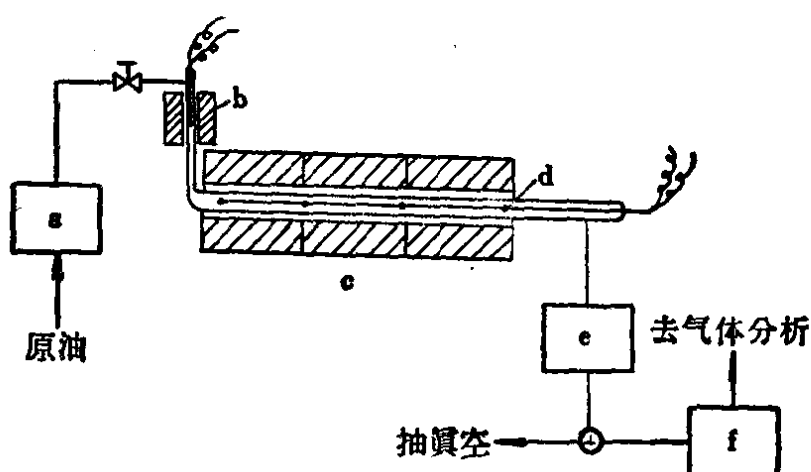


图 2 原油无蒸汽裂解装置图

a—加料泵；b—原油預热器；c—裂解管；d—溫度測量點；
e—油分离用冷凝器；f—气量計

加水蒸氣進行裂解的試驗採用圖3所示的石英裝置進行。此時，裂解管（直徑22毫米，長80厘米）是立置的，以便作為原料送入的油的周圍都被水蒸氣所包圍而不與管壁接觸。此处，反應空間的截面為一6毫米寬的圓環。這種裂解管也規定分三段由外部加熱。這樣，在歷時15—25分鐘之久的試驗期間，沿管的全長可達到幾乎恒定的內部溫度（請比較圖4）。原油

① 1Torr = 1毫米汞柱的压力；一个物理大气压为760Torr。

的加入和預热与不加水蒸汽試驗时相同。水蒸气量为0.6—1.8公斤/小时，通过液体加料泵打入用气体加热了的、18/8—Cr/Ni鋼制的蛇管中汽化；然

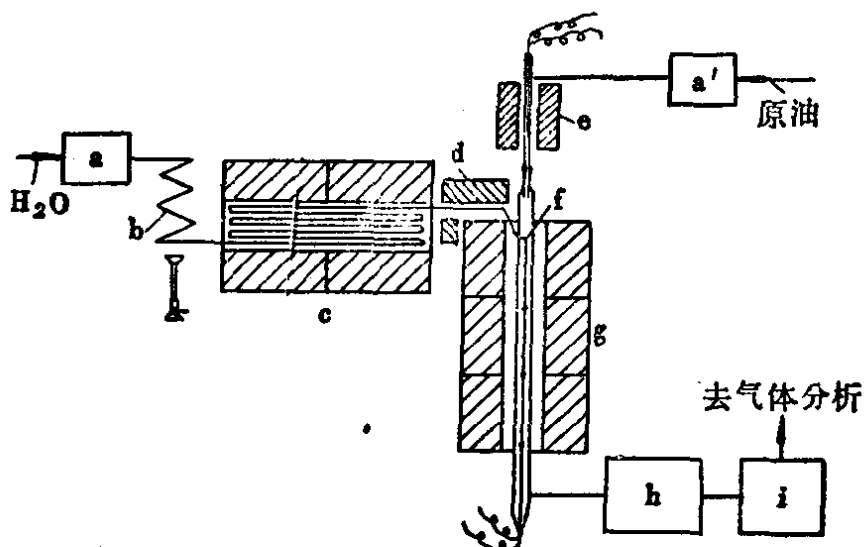


图3 原油加水蒸汽裂解装置图

a, a'—加料泵； b—汽化器； c—过热器； d—保溫层； e—原油預热器； f—溫度測量点； g—裂解管； h—油、 H_2O 分离用的冷凝器； i—气量計

后，水蒸汽在电炉内一长约6米的石英管中过热到950—1000°C。通裂解管的小导管配置得可以使水蒸汽成切线方向吹入裂解管，从而可以冲刷裂解管的管壁。

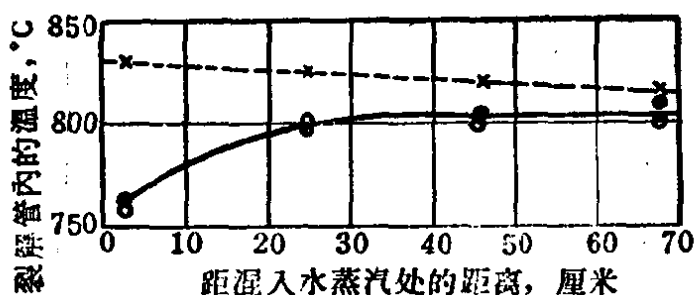


图4 裂解管內的溫度分布

阿美石油公司油： H_2O ：油 = 4.45， $V = 0.1$ 秒（×：試驗开始之前，○：試驗开始2分钟後，●：試驗开始20分钟後）

停留时间系由反应空间的容积和气态或蒸汽态反应物的量计算之。同时，又以反应终点时的反应物组成为基准计算，因为可以认为，分子数的最大变化是在反应历程（die Reaktionsstrecke）的开始部分就已经发生了。在这种计算的情况下，不加水蒸汽进行裂解时，得出的最短停留时

間的數值可能會太小，而在有水蒸氣存在的情況下，誤差可以忽略不計。改變原油和水蒸氣的流入速度即可改變停留時間。

表 1 概示了在不同的裂解溫度、不同的停留時間、不同的水蒸氣量和不同的原油等條件下進行的試驗。用作原料的有三種原油和兩種供比較用的不同的輕汽油。這些原料的特性數據如表 2 所示。根據需要的情況，曾測量了總氣體的產率、各種單一氣體 (H_2 、 CH_4 、 C_2H_2 、 C_2H_4 、 C_2H_6 、 C_3H_4 、 C_3H_6 、 C_3H_8 、 C_4H_6 、 C_4H_8 、 C_4H_{10} 、 CO) 的產率、液態最終產物 ($>C_4$ 的烴類) 的產率和焦炭的產率。

表 1、試 驗 概 況

| 原 料 | 裂解溫度 °C | 水蒸氣對原 料的重量比 q | 停 留 時 間 秒 | 結 果, 見 | |
|---------|------------|---------------------|-----------------|--------|-------------------|
| | | | | 表 | 圖 |
| 輕汽油 I | 800到950 | 1.8 | 0.08 | 4 | 15, 16 |
| | 770到950 | 3.3 | 0.095 | | 15, 16 |
| | 770到950 | 5.2 | 0.10 | 4 | 15, 16 |
| 輕汽油 II | 805到955 | 1.8 | 0.06 | 3 | 14, 16 |
| | 850到950 | 1.8 | 0.085 | 3 | 14, 16 |
| | 780到930 | 1.7 | 0.135 | 3 | 14, 16 |
| | 760到970 | 1.8 | 0.35 | 3 | 14, 16 |
| 米納斯油 | 780到950 | 1.9 | 0.09 | 4 | 14, 15, 16 |
| | 780到950 | 3.1 | 0.09 | | 15, 16 |
| | 760到960 | 5.3 | 0.10 | 4 | 15, 16 |
| 卡塔爾油 | 600到890 | 0 | 1.0 | 6 | 5, 14, 16 |
| | 580到900 | 0 | 2.5 | 6 | 6, 14 |
| | 500到690 | 0 | 5 | | 7, 14 |
| | 780到975 | 1.65 | 0.095 | 4, 6 | 8, 14, 15, 16, 17 |
| | 700到970 | 1.70 | 0.15 | | 9, 14 |
| | 610到890 | 1.77 | 0.38 | | 10, 14 |
| | 760到870 | 1.68 | 1.00 | 6 | 11, 14 |
| | 720到985 | 2.7 | 0.10 | | 12, 15, 16, 17 |
| 阿美石油公司油 | 770到965 | 5.0 | 0.10 | 4 | 13, 15, 16, 17 |
| | 720到940 | 1.78 | 0.09 | 4 | 14, 15, 16 |
| | 775到980 | 2.9 | 0.09 | | 15, 16 |
| | 765到955 | 4.8 | 0.10 | 4 | 15, 16 |

表 2 原料的性能数据

| 原 油 | 20°C时 的密度 | 20°C时的粘度 E° | C:H的 重量比 | 康拉德孙試驗 (焦化試驗) [56] | 沸騰范围 (5~50%) °C | 平 均 分子量 |
|---------|--------------|----------------|-------------|--------------------------|-----------------------|------------|
| 輕汽油 I | 0.688 | 0.92 | 5.40 | — | 39到73 | 90 |
| 輕汽油 II | 0.695 | 0.92 | 未測量 | — | 63到95 | 未測量 |
| 米納斯油 | 0.840 | 1.9(50°C时) | 6.50 | 2.9 | 149到>350 | 289 |
| 卡塔尔油 | 0.826 | 1.3 | 6.46 | 1.5 | 90到270 | 197 |
| 阿美石油公司油 | 0.857 | 1.8 | 6.67 | 3.5 | 108到317 | 217 |

結 果

图 5 至图13所示的是試驗卡塔尔油时觀察到的、总气体产率、某些单一气体的产率和焦炭产率（均以对加入原料重量的百分率表示）与最終的裂解溫度的关系。下面討論的試驗卡塔尔油时溫度、停留時間和水蒸氣加入量的影响对于其他进行过試驗的原料也同样适合。

温度的影响 由图 5 到图13的曲綫可以看出，生成的总气体量最初随溫度的升高而增加，經過最高点后，在高溫下又下降。焦炭量是一直上升的，而液态的最終产物的量則下降。

另外，由图中也都可看出，除氢和乙炔以外，所有气体的产率曲綫都有明显的最高点，但与各个最高点相当的溫度又随各个气体而各不相同。甲烷产率曲綫的最高点在大多数場合下都超出了測量的溫度范围。从热力学的观点来看，溫度升高有利于氢和乙炔的生成，因此从图上可看出，氢含量和乙炔含量是随溫度的升高而增加的。

得到的溫度关系与已有的研究結果相符，可參見在有水蒸氣存在下裂解石油和汽油[37]、裂解丙烷、丁烷和石油残渣油[35]和裂解残渣油[38]的文献。

在同一停留時間下，气体产率最高点的达到是由于生成反应（die Bildungsreaktion）竞相发生而导致消耗反应（die Verbrauchsreaktion）之故。这样的消耗反应一部分是分解为低級烃

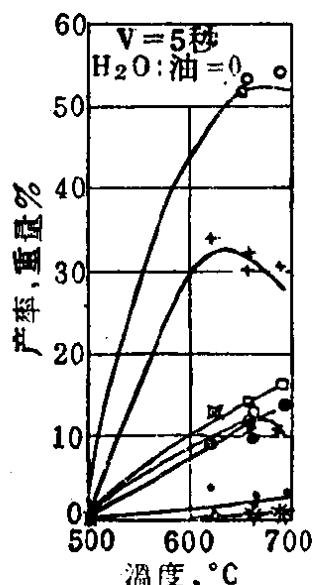
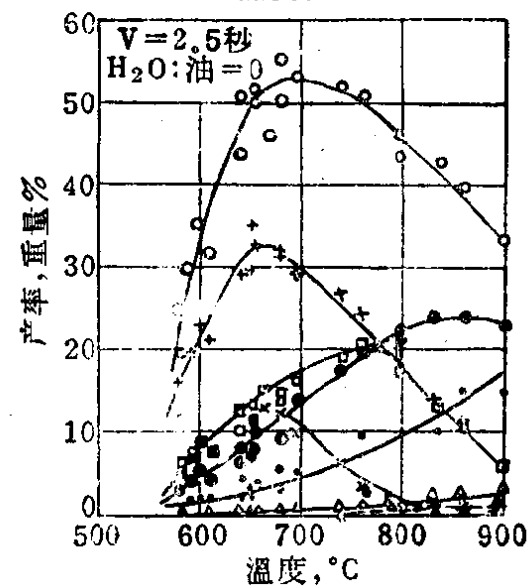
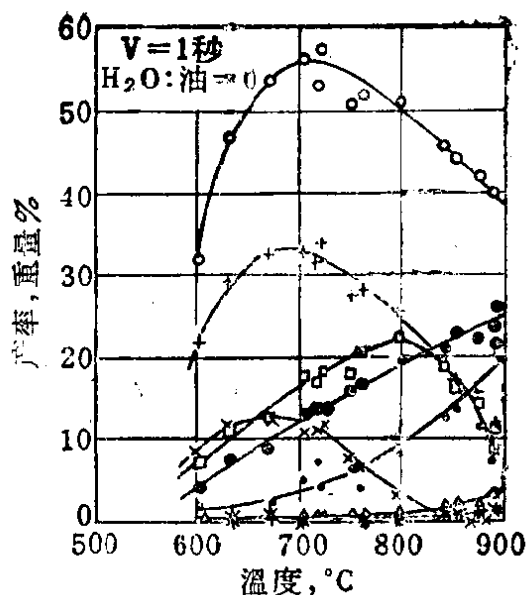


图 5 到图 7 試驗卡
塔爾油时的測量結果

- 总气体(到C₄烃)
- + 烯 烃(乙烯 + 丙烯 + 丁烯)
- 乙烷
- × 丙烷
- 甲烷
- 焦炭
- △ 氢
- *-- 乙炔

(如果消耗的是乙炔，則分解为氢和碳)的二次分解反应。但是，烃多半还是消耗于合成反应，例如聚合和缩聚，或者是发生轉化，例如异构化或脱氢。連續芳构化和不斷脫氢最終要导致生成焦炭^[39]。

在同一停留時間下，气体产率最高点的情况是：气体中碳原子数越高，相当于最高点的溫度越低。因此，最高点按溫度递增排列的順序是：丁烯，丙烯，乙烯。此外，最高点的高度也以同样的順序递增。这两种情况表明，高級烯烃比低級烯烃容易分解。另外，如果比較一下碳数相同的不飽和烃和飽和烃，那么，飽和烃的最高点附近更平坦、更低，与其相当的溫度也稍低。除甲烷以外，其他飽和烃的产率曲綫均未繪入图中，以免使图面复杂化。

焦炭填料的影响 在不加水蒸汽时进行的、停留時間为 1 秒的裂解試驗中，检验了一下用充滿焦炭顆粒的裂解管試驗和用空裂解管試驗时产率是否有区别。

在两种情况下，无论是否是气体产率还是焦炭产率都相同。由此可见，在停留時間約为 1 秒时，表面反应不起作用。以前在裂解甲烷时，也发现过类似的現象。与此相应，在空裂解管中进行裂解試驗时，管壁材料（石英或18/8-Cr/Ni 鋼）也没有影响。

停留時間的影响 用卡塔尔油作原料进行裂解試驗所得的結果有两种：一种是不加水蒸汽的、較长停留時間范围（1 秒到 5 秒）內的試驗結果，如图 5 到图 7 所示；另一种是加入水蒸汽的、較短停留時間范围（< 1 秒）內的試驗結果，如图 8 到图 11（应为到图13——譯者注）所示。

原則上可以預料，停留時間較短时，副反应（消耗反应）的作用会較小，因此低分子烃的产率会提高。事实上，随着停留時間的縮短，气体的总生成量以及乙烯和丙烯的最大产率也都提高。此外，停留時間越短，相当于生成的总气体量以及单一气体产率最高点的溫度也越高。停留時間較短时，液态最終产物量至少在較高溫度的范围内是較少的。

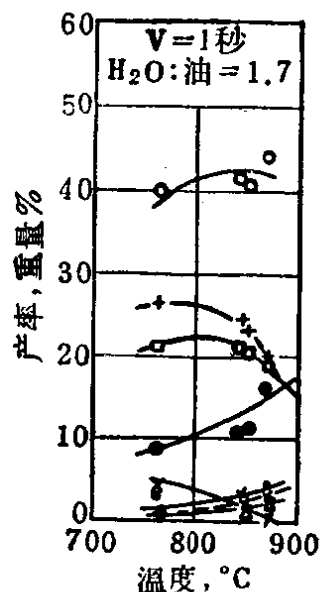
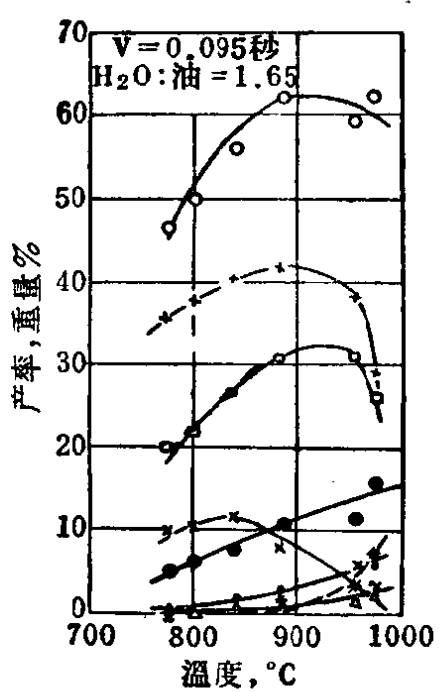
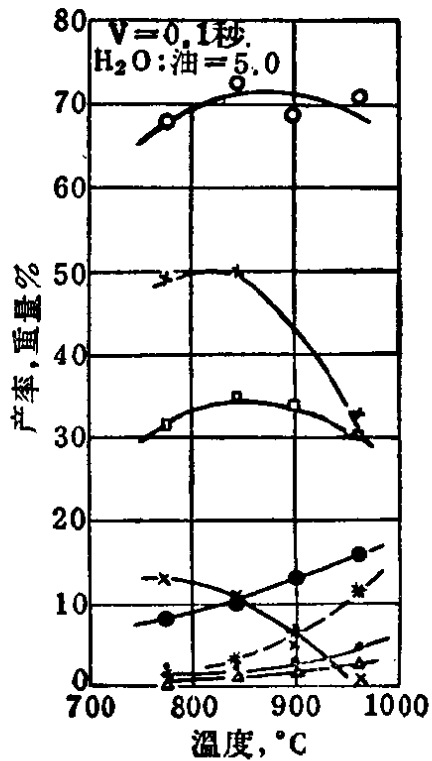
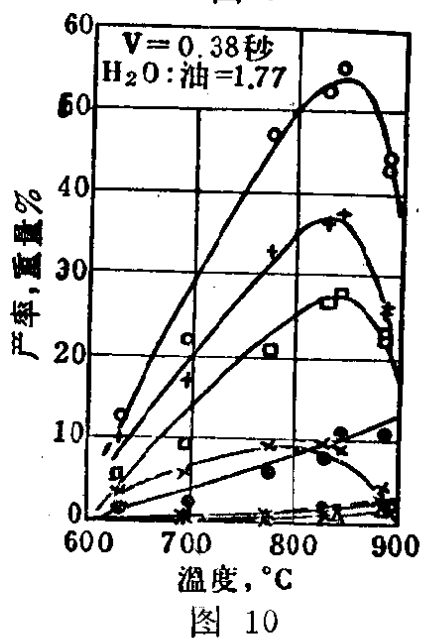
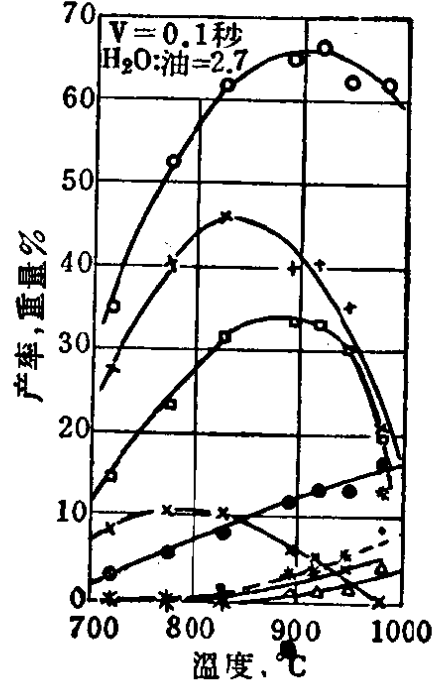
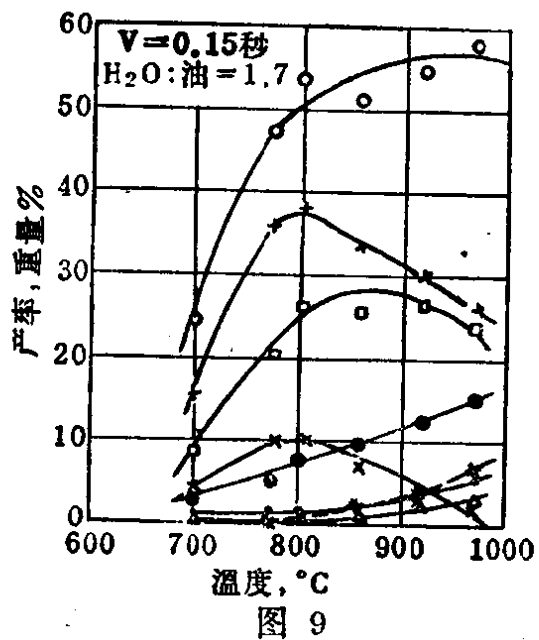


图 8 到图 13 試驗卡
塔爾油时的測量 結果
(符号說明見图 5 到
图 7)



随着停留時間越来越短（在加入水蒸氣的情况下），丁烯、丁二烯和乙烷也同样有增加。当停留時間縮短时，所有其他气体，首先是甲烷的产率一直下降。焦炭量也隨停留時間的縮短而稍有下降。

用輕汽油只試驗了以 1.8:1 的比例加入水蒸氣时短暫停留時間的影响。表 3 所示为在选定的三点溫度下这一影响的情况。可以看到，輕汽油的情况与卡塔尔油的相似。首先，乙烯的最大产率随着停留時間的降低也急剧上升，且向較高溫度之方向移动。就其他气体的最大产率而言，与卡塔尔油相比，其高度与停留時間的关系較小，而最大产率所相当的溫度与停留時間的关系則較大。

裂解C₂烴和C₃烴、裂解丁烷和天然汽油时（均不加水蒸氣），气体产率与停留时间也有类似的关系[43, 44]。

如果把各种气体的产率数据作为停留時間的函数并以溫度作为参数在坐标图上标点，那么，适应于生成反应与消耗反应之間的竞争情况，得到的曲綫便具有通过最高点的倾向。在低溫（800°C）范围以内，例如，裂解輕汽油的乙烯产率就随停留時間的降低而降低（卡塔尔油的情况也类似）。显然，此处乙烯产率的最高点是在停留時間比测量过的停留時間更长的时候（>0.35秒）出現的。溫度越高，则移至最高点所經過的停留時間越短；900°C时最高点在停留時間約为0.15秒处，960°C时最高点則在停留時間比0.06秒还少的地方。这是由于在較高的溫度下，生成反应和消耗反应比在低溫下进行得更快。丙烯、丁烯、丁二烯和乙烷也具有同样的結果。

如果在同一溫度下对比乙烯、丙烯和丁烯的产率，那么可以看出，烯烃的碳原子数越多，其产率移至最高点所經過的停留時間也越短。

图14所示是在水蒸氣与油之比接近相等的情况下裂解卡塔尔油和輕汽油时觀測得到的乙烯和丙烯的最大产率与停留時間的关系，以及停留時間約 0.1 秒时裂解米納斯油和阿美石油公司油所

表 3 軽汽油 I 加水蒸气进行裂解

停留时间对气体产率的影响。表内所列数据系取自由个别的测量点
繪制而得的、平稳的曲线，因此与测量值不尽相同。

| 裂解温度, °C | 800 | 800 | 880 | 880 | 880 | 880 | 880 | 950 | 950 | 950 | 950 |
|------------------------------------|-------|-------|-------|-------|-------|-------|-------|-------|-------|-------|-------|
| 停留时间, 秒 | 0.06 | 0.135 | 0.35 | 0.06 | 0.085 | 0.135 | 0.35 | 0.06 | 0.085 | 0.135 | 0.35 |
| H ₂ O : 油 (用符号q表示) | 1.8 | 1.7 | 1.8 | 1.8 | 1.8 | 1.7 | 1.8 | 1.8 | 1.8 | 1.7 | 1.8 |
| 产率, 重量% | | | | | | | | | | | |
| 氢 | 0.45 | 0.7 | 0.95 | 1.0 | 1.0 | 1.27 | 2.1 | 1.8 | 1.95 | 2.15 | 3.65 |
| 甲烷 | 5.5 | 9.0 | 13.7 | 11.0 | 12.0 | 14.5 | 22.5 | 17.0 | 18.0 | 19.5 | 24.5 |
| 乙炔 | 0.3 | 0.7 | 1.6 | 1.8 | 1.9 | 2.4 | 4.7 | 7.3 | 5.6 | 7.0 | 9.2 |
| 乙烯 | 18.0 | 30.0 | 35.0 | 35.7 | 39.5 | 35.5 | 41.2 | 39.0 | 36.5 | 39.0 | |
| 乙烷 | 1.8 | 1.9 | 2.3 | 2.0 | 2.0 | 2.0 | 1.1 | 1.3 | 1.2 | 0.8 | 0.2 |
| 甲基乙炔 | — | 0.5 | 1.25 | 1.25 | 1.3 | 1.3 | 1.25 | 0.25 | 0.2 | 0.3 | — |
| 丙烯 | 12.0 | 13.5 | 10.0 | 11.0 | 11.0 | 11.0 | 4.1 | 6.5 | 5.5 | 2.0 | 0.2 |
| 丁二烯 | 3.0 | 5.0 | 4.4 | 3.8 | 3.8 | 4.5 | 2.2 | 3.2 | 3.3 | 2.1 | 0.7 |
| 丁烯 | 6.0 | 8.0 | 5.0 | 4.6 | 3.9 | 3.7 | 0.8 | 1.5 | 0.8 | 0.5 | — |
| 一氧化碳 | — | — | — | 0.5 | 0.75 | 1.05 | — | 0.2 | 2.0 | 3.15 | |
| 到 C ₄ 为止的总气体 | 47.05 | 69.30 | 74.20 | 71.45 | 73.1 | 80.92 | 75.30 | 80.05 | 75.75 | 72.85 | 70.60 |
| C ₂ 到 C ₄ 烃类 | 36.0 | 51.5 | 50.0 | 50.6 | 50.6 | 54.2 | 40.4 | 49.2 | 45.3 | 39.0 | 29.2 |
| 焦炭 | — | — | — | — | — | — | 1.2 | — | 0.3 | 0.35 | 4.1 |
| 大于 C ₄ 的烃类残余 | 52.95 | 30.70 | 25.8 | 28.55 | 26.9 | 19.08 | 23.50 | 19.95 | 23.95 | 26.80 | 25.3 |